

東京大学大学院 学生会員 ○安部友則
東京大学工学部 正会員 石原研而
東京大学大学院 高野公寿

1. まえがき；砂の変形挙動をモデル化するとき、多くの場合弾塑性的な変形をするものとして扱っている。特に除荷-再載荷時には、塑性変形は全く生じず弹性変形のみを生じるとして扱っていることが多い。しかし、除荷-再載荷時には塑性変形も生じているのではないかと考えられる。したがって、どのくらいの塑性変形を生じているのかを調べるために、三軸装置を用いて実験を行なった。

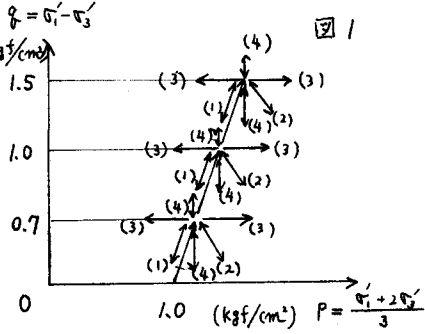
2. 実験方法および試料；実験に用いた砂は富士川砂である。この砂は、 $\gamma_s = 2.73$, $e_{max} = 1.03$, $e_{min} = 0.48$, $D_{50} = 0.40 \text{ mm}$, $U_c = D_{10}/D_{50} = 2.14$ である。この砂で直径 5.0 cm, 高さ 10.0 cm の円柱形の供試体を作った。まずこの供試体を $\sigma'_a = \sigma'_r = 1.0 \text{ kgf/cm}^2$ で圧密した。圧密が完了した後、排水状態で軸圧を加えて、 $\sigma'_a = 1.7, 2.0, 2.5 \text{ kgf/cm}^2$, $\sigma'_r = 1.0 \text{ (kgf/cm}^2)$ の三つ応力状態とした。それからの状態から図 1 のような応力経路でくり返し載荷を行なった。次にくり返し載荷り大きさを変化させてその挙動を調べた。図 1 の(1)から(4)までの応力経路を詳しく説明すると下のようになる。

(1) 排水状態で側圧を一定にしたまま ($\sigma'_r = 1.0 \text{ kgf/cm}^2$) 軸圧を除荷した後、再載荷する。

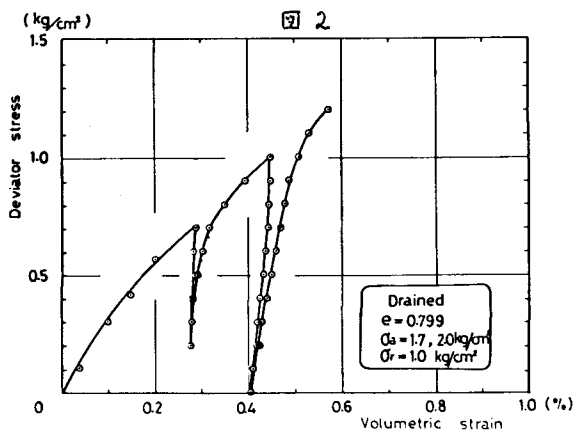
(2) 排水状態で軸圧を一定にしたまま ($\sigma'_a = 1.7, 2.0, 2.5 \text{ kgf/cm}^2$) 側圧をえた後、除荷する。

(3) 排水状態で偏心応力を一定にしたまま ($\gamma = 0.7, 1.0, 1.5 \text{ kgf/cm}^2$) 軸圧と側圧を変化させる。

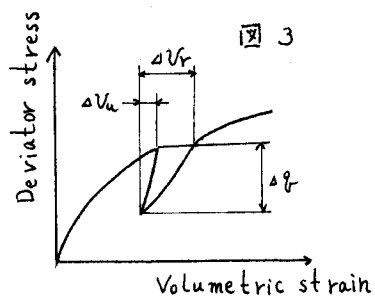
(4) 排水状態で平均主応力 P を一定にしたまま ($P = 1.2, 1.3, 1.5 \text{ kgf/cm}^2$) 軸圧と側圧を変化させる。



3. 実験結果および考察：



ΔV_r を使って実験結果を整理した。(1)の状態での実験結果を横軸に ΔV_r 、縦軸に ΔV_u をとってプロットしたグラフが図 4 である。これには $\sigma'_a = 1.7, 2.0, 2.5 \text{ kgf/cm}^2$ の(1)の状態での実験結果をい、しょにプロットした。このグラ



(1)の状態のもとでの実験結果の一つを図 2 に示す。図 2 は横軸に体積ひずみ、縦軸に偏心応力をとっている。図 3 に示すような記号、 ΔV_u , ΔV_r を用いて実験結果を整理した。

つ中の傾き 45° の直線上では、 $\Delta V_u = \Delta V_r$ が成立立つ。つまり、除荷-再載荷後の体積ひずみが、除荷-再載荷前の体積ひずみに等しくなり、除荷-再載荷によっては新たな体積ひずみは生じないことを示している。図4を見ると、 $\sigma'_a = 1.7, 2.0, 2.5 \text{ kgf/cm}^2$ のどの場合も ΔV_u が大きくなると ΔV_r も ΔV_u よりも大きくなり、傾き 45° の直線から離れていく傾向にあることわかる。 $\Delta V_r = \Delta V_u$ の時すなわち傾き 45° の直線上で、弾性変形のみをしていると考えると、 ΔV_u が大きくなるにしたがって弾性変形に塑性変形が加わってくるということと言える。

これらの実験結果のうちの $\sigma'_a = 1.7 \text{ kgf/cm}^2$, $\sigma'_r = 1.0 \text{ kgf/cm}^2$ の場合の結果を取り出して $\Delta \varphi$ と $\Delta V_r - \Delta V_u$ をそれぞれ縦軸と横軸にしてプロットしなおしたのが図5である。これより $\Delta V_r - \Delta V_u$ と $\Delta \varphi$ とはほぼ直線関係にあると言える。 $\Delta V_r = \Delta V_u$ の時砂は弾性変形のみをするとすると、くり返し荷重 $\Delta \varphi$ が大きくなるほど $\Delta V_r - \Delta V_u$ の値も大きくなり塑性変形も生じてくると言える。

$\sigma'_a = 1.7 \text{ kgf/cm}^2$, $\sigma'_r = 1.0 \text{ kgf/cm}^2$ で(1)~(4)までの状態で行なった実験結果を図5のよろ $\Delta \varphi$, $\Delta V_r - \Delta V_u$ でプロットす

ること、やはり原点を通る右上りの直線上に沿う傾向を示す。これら2グラフより、 $\Delta V_r - \Delta V_u$ が 0.02% , 0.04% , 0.10% になる $\Delta \varphi$ の値を読みとる。次にP- φ 平面上の(1)から(4)までの応力経路上にこの値をプロットして、 $\Delta V_r - \Delta V_u$ が等しい値を示す点を曲線で結ぶと図6のようになる。この図より左下方向の応力経路でのくり返し載荷が最も弾性的挙動を示すと言える。

逆に右上方向が最も塑性変形を生じると言える。

$\sigma'_a = 2.0 \text{ kgf/cm}^2$, $\sigma'_r = 1.0 \text{ kgf/cm}^2$, $\sigma'_a = 2.5 \text{ kgf/cm}^2$,

$\sigma'_r = 1.0 \text{ kgf/cm}^2$ の二つについても図6と同じような図が得られる。

4.まとめ；以上の実験の結果、除荷-再載荷時といえども塑性変形を生じ、くり返し載荷荷重が大きくなるほど砂の塑性変形量が大きくなる傾向があることわかる。また塑性変形量は応力経路によって違い、両者の関係は図6のようになることわかる。

5. 参考文献；

(1)Kenji Ishihara and Shigeru Okada

Yielding of overconsolidated sand and liquefaction model under cyclic stresses
Soil and foundations Vol. 18 No. 1 Mar. 1978

(2)Kenji Ishihara and Shigeru Okada

Effects of stress history on cyclic behavior of sand
Soil and foundations Vol. 18 No. 4 Dec. 1978

(3)龍岡文夫 三軸せん断装置による砂の変形特性に関する基礎的研究 東京大学(1972年)博士論文

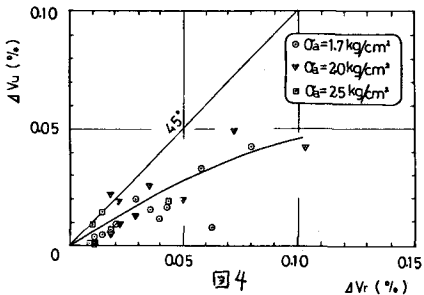


図4

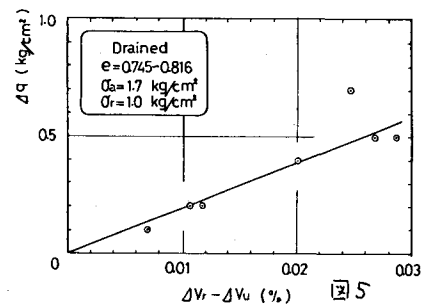


図5

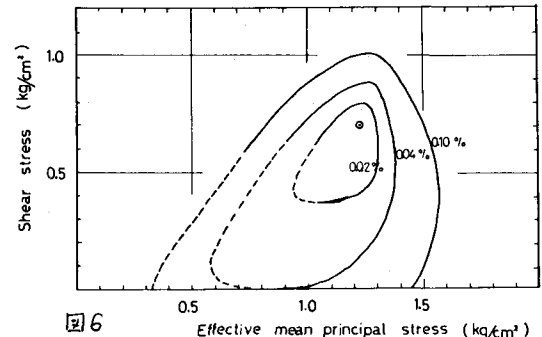


図6